arXiv:1303.0537v1 [physics.flu-dyn] 3 Mar 2013

Recherche et étude de la stabilité du cycle limite pour l'oscillateur de Rayleigh

C. H. Miwadinou*, A. V. Monwanou† and J. B. Chabi Orou‡

March 5, 2013

Institut de Mathématiques et de Sciences Physiques, BP: 613 Porto Novo, Bénin

Abstract

Dans ce papier, nous avons étudié l'oscillateur autonome de Rayleigh en cherchant son cycle limite et en étudiant la stabilité de ce cycle. A travers cette étude, nous avons étudié les points fixes de l'équation de l'oscillateur de Rayleigh et nous nous sommes rendus compte qu'en réalité cet oscillateur n'a qu'un seul point fixe. Ce qui paraît nouveau de notre point de vue,est que nous avons trouvé le cycle limite de cet oscillateur en utilisant l'une des formes du théorème de Poincaré-Bendixson puis nous avons étudié la stabilité de ce cycle limite par la méthode des échelles multiples. Enfin, le plus important dans ce papier est que nous avons prouvé analytiquement puis confirmé par la simulation numérique en utilisant Mathématica que l'oscillateur de Rayleigh présente une bifurcation de PAH

Mots clés: Oscillateur de Rayleigh, point fixe, cycle limite, stabilité, bifurcation.

1 Introduction

L'étude des oscillateurs non-linéaires est une thématique actuellement importante, tant d'un point de vue académique qu'industrielle et qui touche de nombreux domaines, tels que l'hydrodynamique, l'aéronautique, le génie civil, les transports, l'acoustique musicale, le génie nucléaire et autres. Les premiers travaux datent du XIXe siècle mais actuellement ils connaîssent un regain d'intérêt du fait du besoin d'optimiser, d'alléger les structures couramment utilisées et soumises à des niveaux d'excitation importante, ou de contrôler les instabilités des oscillations. Dans ce sens, l'étude des oscillateurs auto-excités paraît très compliquée en ce qui conserne la recherche de leurs solutions analytiques. Pour y arriver, plusieurs techniques ont été proposées pour la détermination des solutions approchées de ces système. Lord Rayleigh, au cours de ses travaux dans les années 1887 sur la description du fonctionnement des instruments de musique, a découvert une catégorie d'oscillateurs qui portent son nom et qui permettent aussi aujourd'hui de modéliser plusieurs systèmes surtout en ingénierie. C'est ainsi que dans l'une de ses oeuvres [1], il présente plusieurs modèles pour décrire la vibration de différents instruments de musique. Malgré la non- linéarité des oscillateurs considérés, il trouve pour certains d'entre eux des cycles limites comme solution du mouvement.

*clement.miwadinou@imsp-uac.org
†movins2008@yahoo.fr
‡Author to whom correspondence should be addressed: jchabi@yahoo.fr

Ces cycles limites sont atteints par les oscillateurs, peu importe la condition initiale. La modélisation de ces oscillateurs est donnée par l'équation de Rayleigh suivante:

$$\ddot{X} + X + \epsilon f(X, \dot{X})\dot{X} = 0 \tag{1}$$

Par utilisation d'un temps réduit, la fonction d'amortissement f réduite qu'il a proposée est:

$$f(X, \dot{X}) = -1 + \dot{X}^2$$

Ainsi, l'équation réduite de l'oscillateur de Rayleigh est la suivante

$$\ddot{X} + X = \epsilon(1 - \dot{X}^2)\dot{X} \tag{2}$$

où ϵ est un paramètre de bifurcation.

En 2000, Johan a étudié cet oscillateur en étudiant ses points fixes. Il a utilisé le théorème de Poincaré-Bendixson pour prouver l'existence du cycle limite de l'oscillateur autonome de Rayleigh puis il a étudié la stabilité de ce cycle limite en utilisant la technique de Poincaré-Bendixson. Dans notre travail, nous allons rechercher le cycle limite de l'oscillateur autonome de Rayleigh par une autre variante du théorème de Poincaré-Bendixson portant sur un système hamiltonien plan perturbé. Nous allons dans un deuxième temps étudier la stabilité du cycle limite trouvé en utilisant la méthode générale dite d'échelles multiples qui selon les littératures traite les oscillateurs dans toutes les conditions. Troisièmement, nous allons prouver que l'oscillateur autonome de Rayleigh présente une bifurcation de PAH. Enfin nous allons simuler l'équation de cet oscillateur pour vérifier nos résultats.

2 Points fixes et existence de cycle limite de l'oscillateur de Rayleigh

2.1 Etude des points fixes

Pour effectuer une étude générale de cet oscillateur, mettons équation (2) sous forme de système d'équations différentielles d'ordre 1.
En effet, posons $\dot{X} = Y$. On a $\ddot{X} = \dot{Y} = -X + \epsilon(1 - Y^2)Y$
On obtient:

$$\begin{cases} \dot{X} = Y \\ \dot{Y} = -X + \epsilon(1 - Y^2)Y \end{cases} \tag{3}$$

Lorsque nous cherchons les points fixes de ce système dynamique, nous constatons que, l'origine c'est-à dire $X = 0$ et $Y = 0$ est le seul point fixe de ce système dynamique.
Nous cherchons la stabilité de point fixe en étudiant la nature des valeurs propres de la matrice jacobienne de ce système dynamique.

Cette matrice jacobienne est définie à l'origine par:

$$\mathcal{M} = \begin{pmatrix} 0 & 1 \\ -1 & \epsilon \end{pmatrix}$$

Les valeurs propres λ de la jacobienne sont données par

$$\lambda^2 - \epsilon\lambda + 1 = 0 \tag{4}$$

Discussion

$*$ Si $|\epsilon| > 2, \triangle > 0$ et la jacobienne admet deux valeurs propres $\lambda_1 = \frac{\epsilon - \sqrt{\epsilon^2 - 4}}{2}$ et $\lambda_2 = \frac{\epsilon + \sqrt{\epsilon^2 - 4}}{2}$

Nous prouvons que λ_1 et λ_2 sont de même signe. Ainsi,

• Si $\epsilon < -2$, alors λ_1 et λ_2 sont négatives. Donc l'origine est un noeud attractif et est stable.

• Si $\epsilon > 2$, alors λ_1 et λ_2 sont positives. Par suite l'origine est un noeud répulsif.

$*$ Si $\epsilon = 2$ ou $\epsilon = -2, \triangle = 0$ et donc $\lambda_1 = \lambda_2 = \frac{\epsilon}{2}$.

Il vient:

•λ_1 et λ_2 négatives pour $\epsilon = -2$ et donc l'origine est un noeud attractif.

• λ_1 et λ_2 positives pour $\epsilon = 2$ et donc l'origine est un point noeud répulsif.

$*$ Etudions maintenant le cas $|\epsilon| < 2$

$|\epsilon| < 2 \Longrightarrow \triangle < 0$ et $\lambda_\pm = \frac{\epsilon \pm i\sqrt{4 - \epsilon^2}}{2}$

Les valeurs propres sont complexes donc l'origine est un foyer ou un centre.

• De plus, pour $-2 < \epsilon < 0, Re(\lambda_+) = Re(\lambda_-) < 0$ dans ce cas, l'origine est un foyer attractif.

• Pour $0 < \epsilon < 2, Re(\lambda_+) = Re(\lambda_-) > 0$ donc l'origine dans ce cas est un foyer répulsif.

$*$ Enfin si $\epsilon = 0, \lambda_\pm = \pm 2i$, alors l'origine est un centre.

2.2 Existence d'orbite périodique

Dans cette partie, nous allons appliquer le théorème de Poincaré-Bendixson énoncé dans le cas des perturbations autonomes d'un système hamiltonien plan (J. BRICMONT [2]).

L'équation (2) de l'oscillateur de Rayleigh est un système plan perturbé.Nous considérons donc le système

$$\begin{cases} \dot{X} = Y \\ \dot{Y} = -X + \epsilon(1 - Y^2)Y \end{cases} \tag{5}$$

Le système non perturbé (oscillateur harmonique) définie par $\epsilon = 0$ est hamiltonien dont l'hamiltonien est $H = \frac{1}{2}(X^2 + Y^2)$. Hormis l'équilibre (0,0), les solutions de ce système hamiltonien sont toutes périodiques de période minimale $T_r = 2\pi$ et données par

$$\Gamma_r : \overrightarrow{X}(t, r) = (r\cos t, -r\sin t)^\top, r > 0 \tag{6}$$

Nous calculons l'intégrale de Melnikov le long de Γ_r

$$M(r) = \int_0^{T_r} f(\overrightarrow{X}(t, r)) \wedge g(\overrightarrow{X}(t, r))dt \tag{7}$$

avec $f(\overrightarrow{X}(t, r)) = (Y, -X)^\top$ et $g(\overrightarrow{X}(t, r)) = (0, Y - Y^3)^\top$ où f et g sont de classe C^∞

$$M(r) \quad = \quad \int_0^{2\pi} (r^2 \sin^2 t - r^4 \sin^4 t)dt$$

Nous trouvons après calcul que

$$M(r) = \frac{1}{4}\pi r^2(4 - 3r^2) \tag{8}$$

Remarquons que $\sqrt{\frac{4}{3}}$ est la seule valeur de r vérifiant $M(\sqrt{\frac{4}{3}}) = 0$ et $M'(\sqrt{\frac{4}{3}}) = -2\pi\sqrt{\frac{4}{3}} \neq 0$. Il s'en suit donc que toutes les hypothèses du théorème de Poincaré-Bendixson énoncé dans le cas des perturbations autonomes d'un système hamiltonien plan sont vérifiées par l'oscillateur de Rayleigh. Nous en déduisons que l'oscillateur de Rayleigh possède pour ϵ suffisamment petit, un cycle limite qui tend vers le cercle dont le centre est l'origne et de rayon $\sqrt{\frac{4}{3}}$ quand ϵ tend vers 0.

3 Etude de la stabilité du cycle limite

Dans cette section, nous allons utiliser la méthode des échelles multiples pour étudier la stabilité du cycle limite de l'oscillateur de Rayleigh. Signalons qu'elle n'est pas la seule méthode. Mais ceci suggère de faire reposer la méthode la plus générale cherchée sur une hiérarchie d'échelles de temps aptes à rectifier le défaut de synchronisation entre l'oscillateur linéaire de référence et l'oscillateur non-linéaire considéré. Ainsi le but de cette méthode est bien de rendre l'approximation de la solution uniforme en temps, un peu comme on corrige un défaut de calendrier par l'introduction des années bissextiles suivant un algorithme d'autant plus compliquée que l'on considère de longues périodes Paul Manneville[3].

Définissons les formules de base de la méthode des échelles multiples.

$$\frac{d}{dt} = \partial_{t_0} + \epsilon\partial_{t_1} + \epsilon^2\partial_{t_2} + ... \tag{9}$$

$$\frac{d^2}{dt^2} = \partial_{t_0^2} + 2\epsilon\partial_{t_0}\partial_{t_1} + \epsilon^2(\partial_{t_1^2} + 2\partial_{t_0}\partial_{t_2}) + ... \tag{10}$$

$$X = X_0(t_0, t_1, t_2, ...) + \epsilon X_1(t_0, t_1, t_2, ...) + ... \tag{11}$$

$t_0 = t, t_1 = \epsilon t, t_2 = \epsilon^2 t$,... et $\frac{\partial}{\partial t_i} = \partial_{t_i}$

Ainsi, lorsque nous remplaçons (9), (10) et (11) dans (2), nous trouvons:

$$\begin{aligned}[\partial_{t_0^2} + 2\epsilon\partial_{t_0}\partial_{t_1} + \epsilon^2(\partial_{t_1^2} + 2\partial_{t_0}\partial_{t_2}) + ...](X_0 + \epsilon X_1 + \epsilon^2 X_2 + ...)\\ +(X_0 + \epsilon X_1 + \epsilon^2 X_2 + ...) = \epsilon[1 - (\partial_{t_0}X_0)^2 - 2\epsilon(\partial_{t_0}X_0)(\partial_{t_0}X_1 + \partial_{t_1}X_0)\\ +...][\partial_{t_0} + \epsilon\partial_{t_1} + \epsilon^2\partial_{t_2} + ...](X_0 + \epsilon X_1 + \epsilon^2 X_2 + ...)\end{aligned} \tag{12}$$

Nous obtenons:

A l'ordere ϵ^0

$$\partial_{t_0^2}X_0 + X_0 = 0 \tag{13}$$

A l'ordre ϵ^1

$$\partial_{t_0^2}X_1 + X_1 = [1 - (\partial_{t_0}X_0)^2]\partial_{t_0}X_0 - 2\partial_{t_0}\partial_{t_1}X_0 \tag{14}$$

Les solutions de l'équation (13)

$$X_0 = A_0(t_1, t_2, ...)\cos[t_0 + \phi_0(t_1, t_2, ...)] \tag{15}$$

En utilisant (15), (14) devient

$$\begin{aligned}\partial_{t_0^2}X_1 + X_1 = [-A_0 + \frac{3}{4}A_0^3 + 2(\partial_{t_1}A_0)]\sin(t_0 + \phi_0) +\\ 2A_0(\partial_{t_1}\phi_0)\cos(t_0 + \phi_0) - \frac{1}{4}A_0^3\sin 3(t_0 + \phi_0)\end{aligned} \tag{16}$$

Annulons les termes résonants, donc on a:

$$-A_0 + \frac{3}{4}A_0^3 + 2\partial_{t_1}A_0 = 0 \tag{17}$$

$$2A_0\partial_{t_1}\phi_0 = 0 \tag{18}$$

L'intégration de l'équation (17) donne

$$\phi_0 = \phi_0(t_2, t_3, ...) \tag{19}$$

Lorsque nous passons à t à l'aide de $t_1 = \epsilon t$, l'équation (18) devient:

$$\frac{dA_0}{dt} = \frac{1}{2}\epsilon A_0(1 - \frac{3}{4}A_0^2) \tag{20}$$

Il en résulte qu'il n'y a pas de correction à la phase et que la phase est fonction du temps.Nous étudions la stabilité du cycle limite en utilisant l'équation (20). En effet, l'amplitude du cycle limite est

$$A_{0S} = \sqrt{\frac{4}{3}} \tag{21}$$

La stabilité de ce cycle limite se voit à travers le signe de $\frac{dA_0}{dt}$.
Ainsi pour $(1 - \frac{3}{4}A_0^2) < 0$ c'est-à dire $A_0^2 > A_{0s}^2$, $\frac{dA_0}{dt} < 0$ donc toute orbite d'amplitude supérieure à celle du cycle limite chute toujours vers ce dernier. Pour $(1 - \frac{3}{4}A_0^2) > 0$ c'est-à dire $A_0^2 < A_{0s}^2$, $\frac{dA_0}{dt} > 0$ donc toute orbite caractérisée par une amplitude inférieure à celle du cycle limite stable va mourir sur ce dernier.
Par conséquent, le cycle limite centré sur l'origine d'amplitude $A_{0S} = \sqrt{\frac{4}{3}}$ est stable. Il faut remarquer que ce résultat est le même quelle que soit la méthode de calcul perturbatif utilisée.

4 Recherche de la bifurcation de Poincaré-Andronov-Hopf pour l'oscillateur de Rayleigh

La bifurcation de Poincaré-Andronov-Hopf(PAH) courrament appelée bifurcation de Hopf (parce qu'elle est la forme simple de la bifurcation de Hopf) est l'apparition ou la disparition d'une orbite périodique par un changement local de propriété de stabilité d'un point fixe d'un système dynamique. Cette naissance locale ou mort d'une solution périodique d'oscillation auto-excitée d'un point d'équilibre se produit lorsqu'un paramètre de contrôle traverse une valeur critique. En général, dans une équation différentielle, une bifurcation de Hopf se produit quand une paire de valeurs propres complexes conjugées du système linéarisé à un point fixe devient purement imaginaire. Cela implique qu'une bifurcation de Hopf ne peut se produit dans des systèmes de dimensions deux ou plus(en dimension deux, il s'agit d'une bifurcation de PAH). La recherche de la bifurcation de Hopf en général et de PAH en particulier n'est pas équivalente à la recherche de cycles limites stables. D'abord, quelques bifurcations de Hopf(par exemple, sous-critique) n'impliquent pas l'existence de cycles limites stables; deuxièmement, il peut exister des cycles limites non liés à des bifurcations de Hopf.

Dans cette section, nous allons appliquer le théorème de Poincaré-Andronov-Hopf (PAH) [4]. Pour cette raison, nous allons chercher à vérifier si l'oscillateur de Rayleigh

remplir les hypothèses de ce théorème. Considérons l'équation suivante de l'oscillateur de Rayleigh:

$\ddot{X} + X = \epsilon(1 - \dot{X}^2)\dot{X}$ où ϵ est un paramètre de contrôle

Nous avons vu ci-haut que cette équation s'écrit par décomposition comme le système (3). Ainsi, ce système est sous forme

$$\begin{cases} \dot{X} = f(\epsilon, X, Y) \\ \dot{Y} = g(\epsilon, X, Y) \end{cases} \tag{22}$$

avec $f(\epsilon, X, Y) = Y$ et $g(\epsilon, X, Y) = -X + \epsilon(1 - Y^2)Y$

1) Les fonctions f et g sont des polynômes donc elles sont différentiables de classe C^∞

2) Pour $X = 0$ et $Y = 0$, $f(\epsilon, 0, 0) = 0$ et $g(\epsilon, 0, 0) = 0$

3) D'après l'étude des points fixes de l'oscillateur de Rayleigh faite dans la sous-section 2.1, nous avons pour $|\epsilon| < 2$ deux racines complexes conjuguées de la jacobienne du système dynamique (3) défini à l'origine qui est le seul point fixe de ce système. Ces valeurs propres sont:

$\lambda\pm = \frac{\epsilon \pm i\sqrt{4-\epsilon^2}}{2}$ donc $\lambda\pm = \alpha(\epsilon) \pm i\beta(\epsilon)$ avec $\alpha(\epsilon) = \frac{1}{2}\epsilon$ et $\beta(\epsilon) = \frac{\sqrt{4-\epsilon^2}}{2}$.

Ainsi, on a:

$\epsilon < 0 \Longrightarrow \alpha(\epsilon) < 0, \epsilon > 0 \Longrightarrow \alpha(\epsilon) > 0, \alpha\prime(0) = \frac{d\alpha}{d\epsilon} = \frac{1}{2} \neq 0$ et $\beta(0) = 1 \neq 0$

4) Toujours dans la sous-section 2.1, nous avons montré que l'origine est un centre et d'après l'étude de la stabilité, l'origine est un attracteur.

Ces quatre points montrent que les quatre hypothèses du théorème de PAH sont satisfaites par l'équation de l'oscillateur de Rayleigh.

En vertu du théorème de PAH, l'oscillateur de Rayleigh est tel que:

- Pour $\epsilon < 0$, l'origine est un état stationnaire stable.
- Pour $\epsilon > 0$, l'origine est un état stationnaire instable entourée par un cycle limite stable dont le diamètre est de l'ordre de$\sqrt{\epsilon}$.

Il vient que $\epsilon = 0$ est une valeur de bifurcation de l'oscillateur de Rayleigh.

Autrement dit, lorsque ϵ passe par 0, l'origine perd sa stabilité. Cette perte de stabilité s'accompagne de la naissance d'un cycle limite stable dont le rayon croît comme $\sqrt{\epsilon}$ car $\epsilon > 0$, les trajectoires s'éloignent du foyer à une distance proportionnelle à $\sqrt{\epsilon}$ et s'enroulent autour de ce cycle limite stable. Dans ce cas la bifurcation est supercritique et donc il y a une excitation douce d'auto-oscillations. Ce résultat est justifié par le commentaire fait par V. Arnold sur le théorème de PAH dans son ouvrage [5].

Pour confirmer nos résultats, nous avons simulé l'équation de cet oscillateur en utilisant Mathématica.

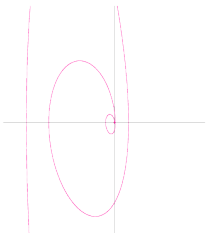

Figure 1: cas $\epsilon = -1.25$

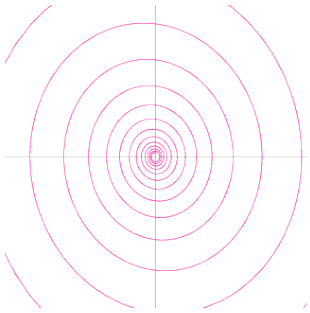

Figure 2: cas $\epsilon = -0.25$

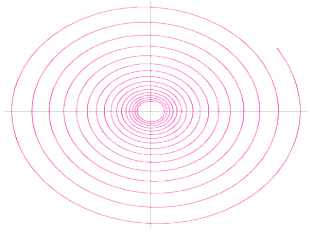

Figure 3: cas $\epsilon = 0.0$

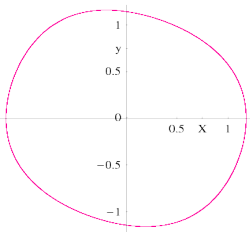

Figure 4: cas $\epsilon = 0.5$

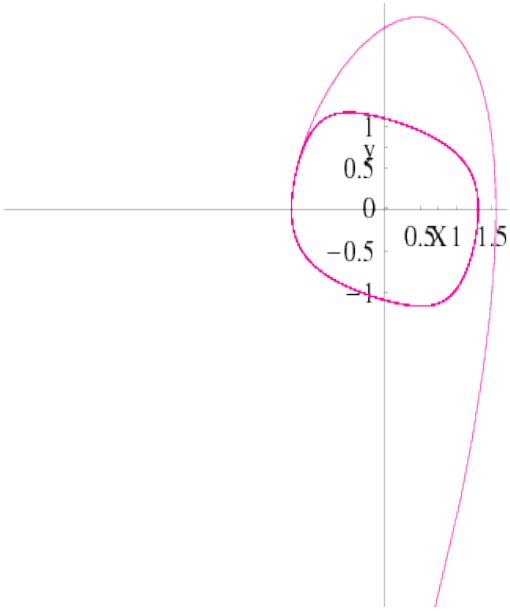

Figure 5: cas $0 < \epsilon < 2$

Nous remarquons que les simulations numériques (figures:1,2,3,4 et 5) rendent bien compte des prédictions analytiques. Nous notons aussi la présence d'un cycle limite stable et nous avons donc bien une bifurcation de Poincaré-Andronov-Hopf supercritique pour $\epsilon = 0$. La présence de la bifurcation de PAH montre qu'un équilibre stable de l'oscillateur de Rayleigh se déstabilisera dans l'espace des paramètres de contrôle en suivant le diagramme de cette bifurcation par passage d'une valeur propre à travers l'axe des imaginaires purs sans que le système ne présente un aspect chaotique ni catastrophique.

5 Conclusion

L'étude de l'oscillateur de Rayleigh nous a permis de montrer qu'il possède un cycle limite. Pour étudier la stabilité de ce cycle limite, nous avons utilisé la méthode de moyennage et la méthode des échelles multiples. Il ressort de l'application de ces deux méthodes que le cycle limite d'amplitude $\sqrt{\frac{4}{3}}$ de l'oscillateur de Rayleigh est stable.

Nous avons aussi, prouvé l'existence d'une bifurcation de Poincaré-Andronov-Hopf pour cet oscillateur et déterminé analytiquement puis vérifié par simulation numérique la valeur du paramètre de contrôle ϵ pour laquelle cette bifurcation est obtenue. Il en résulte que l'oscillateur de Rayleigh possède des propriétés qui vérifient les hypotèses de cette bifurcation. Ainsi,la présence de cette bifurcation supercritique de PAH justifie que l'oscillateur autonome de Rayleigh ne pourra pas présenter quelques soient les valeurs du paramètre de contrôle un aspect chaotique ni catastrophique.

Acknowlegments

Nous remercions l'Université d'Abomey-Calavi et l'Institut de Mathématiques et de Sciences Physiques pour leurs soutients de toutes natures.

References

[1] Lord RAYLEIGH, *On the Pressure of Vibrations*, Philos.Mag., 3:338-346, 1902

[2] J. BRICMONT, *Introduction à la dynamique non linéaire*

[3] Paul MANNEVILLE *Dynamique non linénaire et chaos*, DEA de Physique des liquides. Paris VI- Ecole Polytechnique

[4] B.K. MUITE, *Bifurcations in two dimensions:I*

[5] V.I.ARNOLD, *Méthodes mathématiques de la mécanique classique.* Mir, Moscou 1976

[6] J. HALE et H. KOÇAK, *Dynamics and Bifurcations*

[7] A.A. ANDRONOV, S.E. KHAIKIN, and A.A. VITT. *Theory of oscillators*. Dover, 1987

[8] M.A. BLAQUIERE, *Mécanique non-linéaire: Les oscillateurs à régimes quasi sinusoidaux*

[9] Didier DILIGNIERES; *Systèmes dynamiques et morphogénèse*

[10] Claude LOBRY, *La théorie des bifurcations*. EPI MERE Montpelier

[11] Charles-Michel MARLE, *Systèmes dynamiques Une introduction*

[12] Nayfeh A.H., *(1981), Introduction to Perturbation Technique*, J.Wiley, New York.

[13] Steven H.,STROGATZ, *"Nonlinear Dynamics and Chaos"* (1994)

[14] Johan Matheus Tuwankotta, *Studies on Rayleigh Equation*. INTEGRAL, vol.5 no1, April 2000.

[15] B. Van der Pol, *Philos*. Mag. (7)2,978(1926)

[16] S. WIGGINS, *Introduction to Applied Nonlinear Dynamical Systems and Chaos,* Texts in Applied Mathematics2 (1990)

[17] L3M1-Viterbo - *Equations Différentielles, Systèmes Dynamiques*